

Lesson 157 : endomorphismes trigonalisables, endomorphismes nilpotents

Soit E un K -espace vectoriel de dimension finie $n \geq 1$. Soit $u \in \mathcal{L}(E)$. On note M_u le polynôme minimal de u , pour $A \in M_n(K)$, on note $\chi_A = \det(XI_n - A)$ le polynôme caractéristique de A . On note X_u le polynôme caractéristique de u . On note $S_p(u)$ le spatio de u , et $\text{tr}(u)$ la trace de u .

I/ Endomorphismes trigonalisables

1) Définition et caractérisations

Dég 1 : u est dit trigonalisable s'il existe une base de E dans laquelle la matrice de u est triangulaire supérieure.

Ex 2 : Si la matrice de u dans 1 certaine base B de E est triangulaire inférieure, alors u est trigonalisable.

Prop 3 : Si u est trigonalisable, alors u possède un vecteur propre.

Th 4 : Les assertions suivantes sont équivalentes :

- i) u est trigonalisable
- ii) χ_u est scindé
- iii) M_u est scindé
- iv) u admet un polynôme annulateur scindé

Ex 5 : • $A = \begin{pmatrix} 4 & -3 \\ 3 & -2 \end{pmatrix}$ est trigonalisable car $\chi_A(x) = (x-1)^2$

• $A = \begin{pmatrix} 1 & 0 & 1 \\ 0 & 1 & 0 \\ 0 & -1 & 1 \end{pmatrix}$ est trigonalisable car $(A-I_3)^3 = 0$

Cor 6 : Si K est algébriquement clos, tout endomorphisme du K -espace vectoriel E est trigonalisable. En particulier, toute matrice de $M_n(\mathbb{C})$ est trigonalisable.

Cor 7 : $A = \begin{pmatrix} 0 & -1 \\ 1 & 0 \end{pmatrix}$ vue dans $M_2(\mathbb{R})$, n'est pas trigonalisable puisque $\chi_A = x^2 + 1$

Cor 8 : Soient $\lambda_1, \dots, \lambda_n \in K$ les valeurs propres de u dans la clôture algébrique de K , de multiplicités m_1, \dots, m_n . Alors :

$$\text{tr } u = \sum_{i=1}^n m_i \lambda_i \text{ et } \det u = \prod_{i=1}^n \lambda_i^{m_i}$$

Appl 9 : Soit $A \in M_n(\mathbb{R})$ tel que $A^2 = -I_n$. Alors $\text{tr}(A) = 0$

2) Co-trigonalisation

Dég 10 : Soit $(u_i)_{i \in I}$ une famille de $\mathcal{L}(E)$. On dit que (u_i) est co-trigonalisable, si il existe une base de trigonalisation commune à tous les u_i .

Prop 11 : Si u et v sont co-trigonalisables, alors $u+v$ et uv sont trigonalisables.

Cor 12 :

- $A = \begin{pmatrix} 0 & 0 \\ 1 & 0 \end{pmatrix}$ et $B = \begin{pmatrix} 0 & -1 \\ 0 & 0 \end{pmatrix}$ sont trigonalisables sur \mathbb{R} , mais $A+B = \begin{pmatrix} 0 & -1 \\ 1 & 0 \end{pmatrix}$ ne l'est pas
- $A = \begin{pmatrix} 0 & 1 \\ 1 & 0 \end{pmatrix}$ et $B = \begin{pmatrix} 1 & 0 \\ 0 & -1 \end{pmatrix}$ sont trigonalisables sur \mathbb{R} , mais $AB = \begin{pmatrix} 0 & -1 \\ 1 & 0 \end{pmatrix}$ ne l'est pas

Lemme 13 : Si u est trigonalisable et F est de E stable par u , alors l'endomorphisme induit $u|_F$ est trigonalisable.

Lemme 14 : Si u et v commutent alors :

- tout sous-espace propre de u est stable par v
- v est stable par u

Th 15 : Une famille d'endomorphismes trigonalisables qui commutent 2 à 2, est co-trigonalisable.

3) Propriétés topologiques $H = \mathbb{R}$ ou \mathbb{C}

On note $\mathcal{D}_n(K)$ les matrices diagonalisables de $M_n(K)$

$\mathcal{T}_n(K)$ ————— trigonalisables —————

Prop 16 : $\mathcal{T}_n(\mathbb{R})$ est fermé dans $M_n(\mathbb{R})$

Prop 17 : - $\mathcal{D}_n(\mathbb{C})$ est dense dans $\mathcal{M}_n(\mathbb{C})$ ($= \mathcal{T}_n(\mathbb{C})$)
- $\mathcal{D}_n(\mathbb{R})$ ————— $\mathcal{T}_n(\mathbb{R})$ —————

Appli 18 : preuve du th. de Cayley Hamilton sur \mathbb{C}

Rq 19 : $\mathcal{T}_n(\mathbb{R}) \neq M_n(\mathbb{R})$ donc $\mathcal{D}_n(\mathbb{R})$ n'est pas dense dans $M_n(\mathbb{R})$. Par exemple, $A = \begin{pmatrix} 0 & 1 \\ 1 & 0 \end{pmatrix}$ n'est pas la limite d'une suite de matrices de $\mathcal{D}_n(\mathbb{R})$

II/ Endomorphismes nilpotents 1) Déf et caractérisations

Dég 20 : u est nilpotent s'il existe $p \in \mathbb{N}^*$ tel que $u^p = 0$

Prop 21 : Si $p \in \mathbb{N}^*, u^p = 0$ admet un plus petit élément ; on le note r et on l'appelle l'indice de nilpotence de u

Ex 22 :

- $A = \begin{pmatrix} 0 & 1 \\ 0 & 0 \end{pmatrix}$ et $B = \begin{pmatrix} 1 & -1 \\ 1 & -1 \end{pmatrix}$ sont nilpotentes d'indice 2

- $u : [K_n[X] \rightarrow [K_{n-1}[X]]$ est nilpotente d'indice $n+1$
 $p \mapsto p'$

Th 23 : Les assertions suivantes sont équivalentes :

- i) u est nilpotent
- ii) $\chi_u = x^n$
- iii) $M_u = x^n$ où $r = \text{indice de nilpotence de } u$
- iv) u est trigonalisable et $S_p(u) = 0$

Rq 24 : En particulier, si u est nilpotent alors u est trigonalisable. La réciproque est fausse ; I_n est trigonalisable mais pas nilpotent.

Cor 25 : $r \leq n$

Cor 26 : Si u est diagonalisable et nilpotent, alors $u = 0$

Prop 28 : Si K est de caractéristique nulle, alors on a également :

- u est nilpotent
- $\text{tr}(u^k) = 0$ pour tout $k \in \llbracket 1, n \rrbracket$

Cor 29 : C'est faux en caractéristique nulle ; $I_p \otimes I_p$ n'est pas nilpotente, pourtant $\text{tr}(I_p^k) = p = 0 \forall k \in \llbracket 1, n \rrbracket$

2) Etude du cône nilpotent

On note $N(E)$ les endomorphismes nilpotents de $\mathcal{L}(E)$ et $N_n(K)$ les matrices nilpotentes de $M_n(K)$.

Brop 30:

- si u et v sont nilpotents et commutent, alors uv est nilpotent
- si u est nilpotent et si u et v commutent, alors uv est nilpotent

Contraire 31:

- $A = \begin{pmatrix} 0 & 1 \\ 0 & 0 \end{pmatrix}$ et $B = \begin{pmatrix} 0 & 0 \\ 1 & 0 \end{pmatrix}$ sont nilpotents, mais $A+B = \begin{pmatrix} 1 & 1 \\ 0 & 0 \end{pmatrix}$ n'est pas nilpotent et $AB = \begin{pmatrix} 0 & 0 \\ 0 & 0 \end{pmatrix}$ non plus
- $A = \begin{pmatrix} 0 & 1 \\ 0 & 0 \end{pmatrix}$ est nilpotent mais $A \begin{pmatrix} 1 & 1 \\ 0 & 0 \end{pmatrix} = \begin{pmatrix} 1 & 1 \\ 0 & 0 \end{pmatrix}$ n'est pas nilpotent

Brop 32: $\mathcal{U}(E)$ n'est donc ni un sous-groupe de $\mathcal{L}(E)$, ni un idéal, ni un sous-espace vectoriel.

C'est un cône (stabilisé par multiplication par un scalaire)

Brop 33: $\text{Vect}(\mathcal{U}(E)) = \mathcal{Ker}(E)$ Cor 34: $\text{Vect}(\mathcal{U}(E))$ est un hyperplanEx 35: $\mathcal{N}_2(\mathbb{R}) = \left\{ \begin{pmatrix} ab \\ cd \end{pmatrix} \in \mathcal{M}_2(\mathbb{R}), a+d=0 \text{ et } ad-bc=0 \right\}$
 $= \left\{ \begin{pmatrix} a & b \\ c & -a \end{pmatrix} \in \mathcal{M}_2(\mathbb{R}), a^2+bc=0 \right\}$ On peut dessiner ce cône dans l'espace vectoriel de dimension 3 $\text{Vect}(\mathcal{N}_2(\mathbb{R}))$, voir annexe.Brop 36: Cardinal du cône nilpotent sur un corps fini
Soit $d \geq 1$
 $|\mathcal{N}_d(\mathbb{F}_q)| = q^{d(d-1)}$ DVP 1

La preuve utilise le lemme de Eitting;

Lemme 37: EittingLa suite $(\dim \text{Ker } u^k)_{k \geq 0}$ est croissante et stationnaire, on note r_0 le rang à partir duquel elle stationnaire, on appelle r_0 l'indice de u .On a alors : $E = \text{Ker } u^{r_0} \oplus \text{Im } u^{r_0}$ De plus : $-u|_{\text{Ker } u^{r_0}}$ est nilpotent $-u|_{\text{Im } u^{r_0}}$ est inversible

III / Décomposition d'endomorphismes trigonalisables, à l'aide d'endomorphismes nilpotents

1) Décomposition de Dunford

Th. 38: Si χ_u est scindé (i.e u trigonalisable), alors il existe un unique couple $(d, m) \in \mathcal{L}(E)^2$

tel que :

- d est diagonalisable- m est nilpotent- $u = d + m$ - d et m commutentDe plus, d et m sont des polynômes en u .Ex 39: $A = \begin{pmatrix} 1 & 1 \\ 0 & 0 \end{pmatrix} = \frac{I_2}{D} + \frac{\begin{pmatrix} 0 & 1 \\ 0 & 0 \end{pmatrix}}{N}$ est une décomposition de DunfordContraire 40: $A = \begin{pmatrix} 1 & 1 \\ 0 & 0 \end{pmatrix} = \begin{pmatrix} 0 & 1 \\ 0 & 0 \end{pmatrix} + \begin{pmatrix} 0 & 0 \\ 1 & 0 \end{pmatrix}$ n'est pas une décomposition de Dunford, car $\begin{pmatrix} 0 & 1 \\ 0 & 0 \end{pmatrix}$ et $\begin{pmatrix} 0 & 0 \\ 1 & 0 \end{pmatrix}$ ne commutent pas !En fait A est diagonalisable donc sa décomposition de Dunford est $A = A + 0$,Appli 41: Soit $A = D + N$ la décomposition de Dunford de A . Alors $\exp A = \exp D \exp N$ Appli 42: Soit $A \in \mathcal{M}_n(\mathbb{K})$ telle que χ_A est scindé. Alors, A est diagonalisable si et seulement si $\exp A$ est diagonalisable. DVP 2Appli 43: Soit $A \in \text{GL}_n(\mathbb{C})$. Alors il existe $\Omega \in \mathbb{C}^{n \times n}$ tel que $\exp(\Omega(A)) = A$

2) Réduction de Jordan

a) Pour les endomorphismes nilpotents

Lemme 44: On a vu (lemme 37) que la suite $(\dim \text{Ker } u^k)_{k \geq 0}$ est croissante. On a de plus :

$$\dim \text{Ker } u^{k+1} = \dim \text{Ker } u^k + \dim (\text{Ker } u \cap \text{Im } u^k)$$
 et donc la suite $(\dim \text{Ker } u^{k+1} - \dim \text{Ker } u^k)_{k \geq 0}$ est décroissante,

Dég 45: Tableau d'YoungUn tableau d'Young de taille n est une partition de n ($\text{di}_1 \geq \text{di}_2 \geq \dots \geq \text{di}_m$ $\in \mathbb{N}^*$ telle que $\sum \text{di}_i = n$), représentée par cases juxtaposées : $\text{di}_1 \text{ cases} \rightarrow \boxed{}$ \vdots
 $\text{di}_2 \text{ cases} \rightarrow \boxed{ }$... $\boxed{ }$... $\boxed{}$
 $\text{di}_1 \text{ cases} \rightarrow \boxed{ }$... $\boxed{ }$... $\boxed{}$ Dég 46: Soit u nilpotent. On appelle tableau d'Young associé à u , et on note Tr_u , le tableau d'Young donné par la partition $\text{di}_i = \dim \text{Ker } u^i - \dim \text{Ker } u^{i-1}$ Dég 47: Bloc de JordanSoit $\lambda \in \mathbb{K}, r_i \in \mathbb{N}^*$. On appelle bloc de Jordan de taille r_i associé à λ et on note $\text{Tr}_i(\lambda)$, la matrice :

$$\text{Tr}_i(\lambda) = \begin{pmatrix} \lambda & 0 & & \\ 0 & \lambda & & \\ & & \ddots & \\ & & & \lambda \end{pmatrix} \in \mathcal{M}_{r_i}(\mathbb{K})$$

Th. 48: Soit u nilpotent. Alors il existe une base de E dans laquelle la matrice de u est de la forme :

$$\begin{pmatrix} \text{Tr}_1(\lambda) & & & \\ & \ddots & & \\ & & \text{Tr}_m(\lambda) & \\ & & & \ddots \end{pmatrix} \quad \forall i \in \mathbb{N}^*, \text{di}_i = \sum_{j=1}^m \text{ri}_j = m$$

On appelle cette matrice la forme de Jordan de u

Rq 49; La forme de Jordan de $u \in M_n(\mathbb{K})$ est uniquement déterminée par $T(u)$, c'est-à-dire par la suite $(\dim \ker u^{k+1} - \dim \ker u^k)_{k \geq 0}$. En particulier, elle est unique à permutation des blocs près.

Appli 50; Dénombrement des classes de conjugaison de $M_n(\mathbb{C})$

Brop. 50.1; 2 matrices nilpotentes sont semblables si et seulement si elles ont le même tableau d'Euler.

Ainsi il y a autant de classes de conjugaison de $M_n(\mathbb{C})$ que de partitions de n .

Ex 50.2; Il y a 5 classes de conjugaisons dans $M_4(\mathbb{C})$
Voir annexe.

② Réduction de Jordan d'un endomorphisme trigonalisable

Th. 51; Soit $u \in L(E)$ tel que $\chi_u = \prod_{i=1}^n (X-\lambda_i)^{\alpha_i}$. Alors, il existe une base de E dans laquelle la matrice de u est de la forme :

$$\begin{pmatrix} J_{\mu_{1,1}}(\lambda_1) & & & \\ & \ddots & & \\ & & J_{\mu_{1,n}}(\lambda_1) & \\ & & & \ddots \\ & & & J_{\mu_{n,1}}(\lambda_n) \\ & & & & \ddots \\ & & & & & J_{\mu_{n,n}}(\lambda_n) \end{pmatrix}$$

où $\mu_{ij} \in \mathbb{N}^*$, $\sum_{j=1}^m \mu_{ij} = \alpha_i$ $\forall i \in \{1, \dots, n\}$.

On appelle cette matrice la forme de Jordan de u .

Rq 52; La forme de Jordan de u trigonalisable, est unique à permutation des blocs près.

Rq 53; Si $\chi_u = \prod_{i=1}^n (X-\lambda_i)^{\alpha_i}$, alors $M_u = \prod_{i=1}^n (X-\lambda_i)^{\beta_i}$ où β_i est la taille du plus gros bloc de Jordan associé à λ_i .

Rq 54; On rebrouche la décomposition de Dungord:

Si $A = PJP^{-1}$ où J = forme de Jordan de A , alors :

$A = D + N$, avec $D = PD_1P^{-1}$, $N = PN_1P^{-1}$ où D_1 désigne la diagonale de J et N_1 la surdiagonale, est la décomposition de Dungord de A .

Appli 55; Soient $A, B \in M_n(\mathbb{C})$. Alors A et B sont semblables si et seulement si elles ont la même forme de Jordan.

Appli 56; Soit $A \in M_n(\mathbb{C})$. Alors A et A^t sont semblables.

Appli 57;

- Soient $A, B \in M_2(\mathbb{C})$. Alors A et B sont semblables si et seulement si $M_A = M_B$

- Soient $A, B \in M_3(\mathbb{C})$. Alors A et B sont semblables si et seulement si $M_A = M_B$ et $\chi_A = \chi_B$

Contre-ex 58; $A = \begin{pmatrix} 0 & 1 & 0 \\ 0 & 0 & 0 \\ 0 & 0 & 0 \end{pmatrix}$ et $B = \begin{pmatrix} 0 & 0 & 0 \\ 1 & 0 & 0 \\ 0 & 1 & 0 \end{pmatrix}$ ne sont pas semblables mais $M_A = M_B = (X-1)(X-2)$

Contre-ex 59; $A = \begin{pmatrix} 0 & 1 & 0 & 0 \\ 0 & 0 & 0 & 0 \\ 0 & 0 & 0 & 0 \\ 0 & 0 & 0 & 0 \end{pmatrix}$ et $B = \begin{pmatrix} 0 & 1 & 0 & 0 \\ 0 & 0 & 0 & 0 \\ 0 & 0 & 0 & 0 \\ 0 & 0 & 0 & 1 \end{pmatrix}$ ne sont pas semblables mais $M_A = M_B = X^2$, $\chi_A = \chi_B = X^4$

Appli 60; Calcul d'exponentielles de matrices

$$\exp(tJ_n(\lambda)) = e^{\lambda t} \begin{pmatrix} 1 & t & \frac{t^2}{2!} & \cdots & \frac{t^{n-1}}{(n-1)!} \\ 0 & 1 & t & \cdots & \frac{t^{n-2}}{(n-2)!} \\ & & 1 & \ddots & \vdots \\ & & & \ddots & 1 \end{pmatrix} \text{ où } t \in \mathbb{R}$$

donc on déduit $\exp(tA)$ où A est trigonalisable

Appli 61; Systèmes différentiels linéaires homogènes à coefficients constants

Appli 61.1; La solution du système : $\begin{cases} \dot{x}(t) = Ax(t) \\ x(0) = x_0 \end{cases} \quad (*)$

est donnée par : $x(t) = \exp(tA)x_0$

D'où l'intérêt de l'application 60

Appli 61.2; Classification des points d'équilibre du système (*) dans le cas $n=2$

L'allure des trajectoires du système dépend de la nature des valeurs propres de A , on considère A inversible, ainsi 0 est le seul point d'équilibre ($\forall v$ tel que $Av = 0$)

[1] • Si A a 2 valeurs propres réelles distinctes λ_1 et λ_2 :

Alors A est semblable à $\begin{pmatrix} \lambda_1 & 0 \\ 0 & \lambda_2 \end{pmatrix}$

3 situations sont possibles selon si $0 < \lambda_1 < \lambda_2$, $\lambda_2 < \lambda_1 < 0$ ou $\lambda_2 > \lambda_1 > 0$

[2] • Si A a 1 valeur propre réelle double λ avec 2 vecteurs propres linéairement indépendants :

Alors A est semblable à $\begin{pmatrix} \lambda & 0 \\ 0 & \lambda \end{pmatrix}$

2 situations sont possibles selon le signe de λ ($\lambda \neq 0$ car A inversible)

[3] • Si A a 1 valeur propre réelle double λ avec 1 seul vecteur propre associé à λ :

Alors A est semblable à $\begin{pmatrix} \lambda & 1 \\ 0 & \lambda \end{pmatrix}$

2 situations sont possibles selon le signe de λ

[4] • Si A a 2 valeurs propres complexes conjuguées $\alpha \pm i\beta$;

Dans $M_2(\mathbb{C})$, A est semblable à $\begin{pmatrix} \alpha + i\beta & 0 \\ 0 & \alpha - i\beta \end{pmatrix}$

Soit $Z = u + iv$ un vecteur propre associé à $\alpha + i\beta$
Alors (u, v) est 1 base dans laquelle A s'écrit :

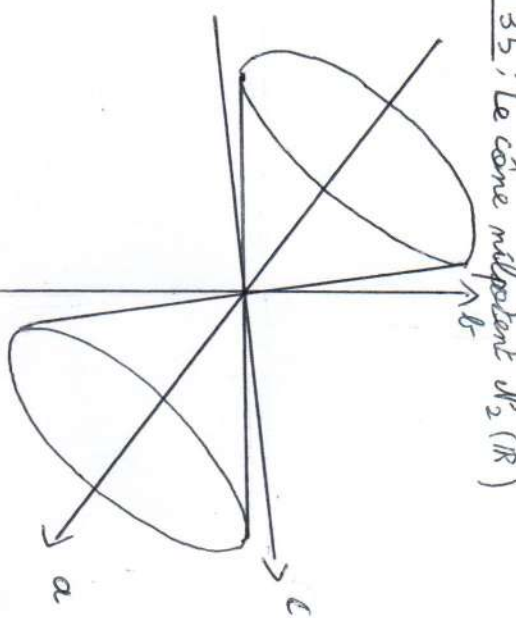
$$\begin{pmatrix} \alpha & \beta \\ -\beta & \alpha \end{pmatrix}$$

3 situations sont possibles selon le signe de α ($\alpha = 0, \alpha > 0, \alpha < 0$)

Voir annexe.

Annexe

Exemple 35 : Le cône nilpotent $\mathcal{N}_2(\mathbb{R})$



Exemple 50.2 : Les 5 classes de conjugaison de $\mathcal{M}_4(\mathbb{C})$

Tableau d'Irung	$4 = 4+0$	$4 = 3+1$	$4 = 2+2$	$4 = 2+1+1$	$4 = 1+1+1+1$

Application 51.2 :

